

Quelques problèmes ouverts

Alexandre Blondin Massé

Laboratoire de combinatoire et d'informatique mathématique
Université du Québec à Montréal

17 février 2017

INF7341 Structures de données

1. Chemins discrets

Représentation

Problème

2. Arbres pleinement feuillus

Polyominos

Polycubes

Graphes

Problèmes ouverts

1. Chemins discrets

Représentation

Problème

2. Arbres pleinement feuillus

Polyominos

Polycubes

Graphes

Problèmes ouverts

1. Chemins discrets

Représentation

Problème

2. Arbres pleinement feuillus

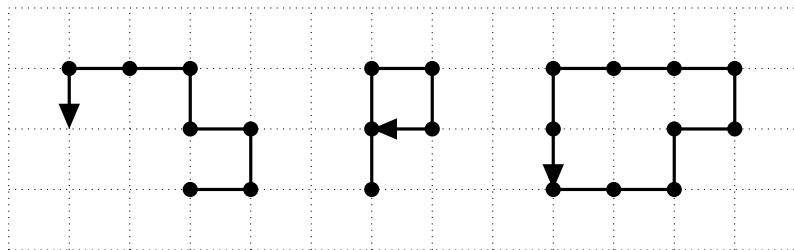
Polyominos

Polycubes

Graphes

Problèmes ouverts

Chemins discrets



(a)

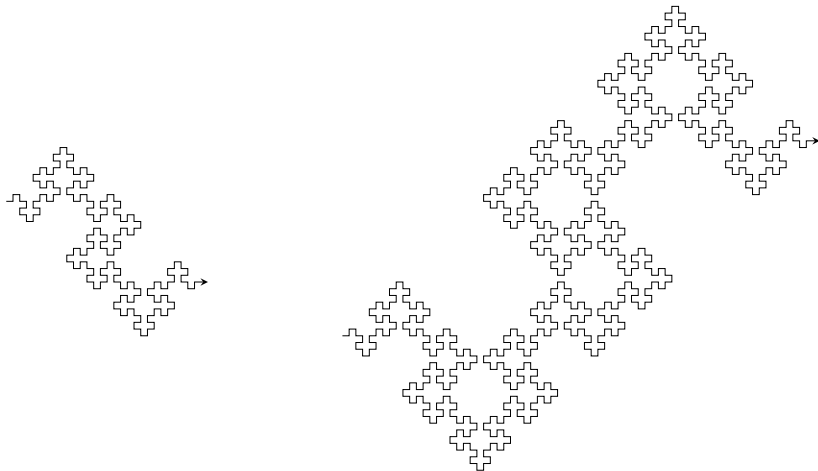
(b)

(c)

Trois **chemins discrets** :

- ▶ (a) **simple**;
- ▶ (b) **non simple**;
- ▶ (c) **fermé** et **simple**.

Chemin auto-évitant



1. Chemins discrets

Représentation

Problème

2. Arbres pleinement feuillus

Polyominos

Polycubes

Graphes

Problèmes ouverts

Étant donné un **chemin discret**...

- ▶ ...est-il **simple**?
- ▶ ...combien a-t-il de **points d'intersection**?

Étant donné **deux régions discrètes** (chemin fermé)...

- ▶ ...quelle est leur **intersection**?
- ▶ ...quelle est leur **réunion**?
- ▶ ...quelle est leur **différence**?

Plus généralement, avec quelle **efficacité** peut-on répondre à ces questions?

Solution 1: arbre équilibré/en triant

- ▶ On parcourt le chemin, **étape par étape**;
- ▶ On insère les points visités dans un **arbre équilibré**;
- ▶ S'il y a un point d'intersection, il est aussitôt détecté puisque le point **se trouve déjà** dans l'arbre;
- ▶ **Complexité?**
 - ▶ $\mathcal{O}(n \log n)$ en temps;
 - ▶ $\mathcal{O}(n)$ en espace;
- ▶ De façon similaire, il est possible de stocker **tous les points** dans une liste et de les **trier**, pour obtenir les **mêmes complexités** dans le pire cas.

Solution 2: matrice booléenne

- ▶ En utilisant une **matrice booléenne**, on peut aussi **marquer** les points visités;
- ▶ Soit w et h la **largeur** et la **hauteur** du rectangle circonscrit contenant le chemin;
- ▶ Alors on a les **complexités** suivantes :
 - ▶ $\mathcal{O}(n)$ en temps;
 - ▶ $\mathcal{O}(wh)$ en espace.
- ▶ Il est facile de construire des exemples où $w, h \in \Omega(n)$, de sorte que la **complexité spatiale** est alors $\Theta(n^2)$.

Solution 3: table de hachage

- ▶ On **marque** les points visités à l'aide d'une **table de hachage**;
- ▶ Il n'y a malheureusement pas de garantie que chaque opération soit $\mathcal{O}(1)$ dans le **pire cas**.
- ▶ **Complexité?**
 - ▶ Temporelle : dépend de la **qualité** de la fonction de hachage;
 - ▶ Spatiale : dépend de la **capacité** de la table de hachage.
- ▶ Comme la **distribution** des chemins discrets n'est pas connue, il semble difficile d'imaginer une fonction de hachage qui se rapproche du **hachage parfait**.

Solution 4: tri linéaire

- ▶ Il est possible de **trier** une liste en temps **linéaire** :
 - ▶ *Bucket sort*;
 - ▶ *Counting sort*;
 - ▶ *Radix sort*.
- ▶ On trie d'abord les points par rapport à leur **abscisse** et ensuite par rapport à leur **ordonnée** (**tri radix**);
- ▶ **Complexité?**
 - ▶ Time : $\Theta(n)$;
 - ▶ Space : $\Theta(n)$.
- ▶ Cependant, l'**intersection** ne peut être détectée **en temps réel**.

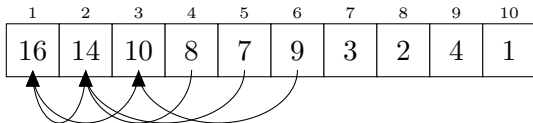
- ▶ S. Brlek, M. Koskas, X. Provençal, *A linear time and space algorithm for detecting path intersection in \mathbb{Z}^d* , Theoretical Computer Science (TCS) **412**, 2011, p. 4841-4850;
- ▶ Les auteurs introduisent une structure de données appelée **arbre radix enrichi**, qui permet de détecter les points d'intersection efficacement.
- ▶ Nous présentons cette structure d'abord sur \mathbb{N}^2 , puis nous montrons comment elle peut être étendue à \mathbb{Z}^2 .

La relation radix

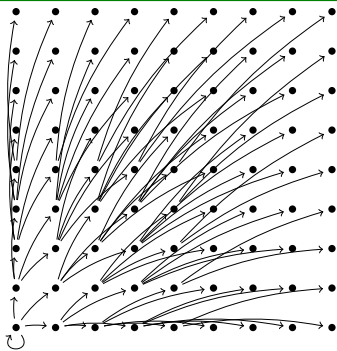
- ▶ La **relation radix** sur \mathbb{N}^2 est définie par

$$(x, y) \rightarrow (x', y') \quad \text{si et seulement si} \quad (x, y) = (\lfloor x'/2 \rfloor, \lfloor y'/2 \rfloor)$$

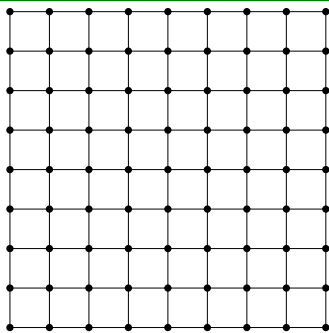
- ▶ Clairement, \rightarrow est **antisymétrique**;
- ▶ (x, y) est appelé **parent** de (x', y') ;
- ▶ (x', y') est appelé **enfant** de (x, y) ;
- ▶ Il s'agit d'une **généralisation 2D** de l'ordre **monceau** pour les tableaux:



Combinaison de deux relations sur \mathbb{N}^2



(a)



(b)

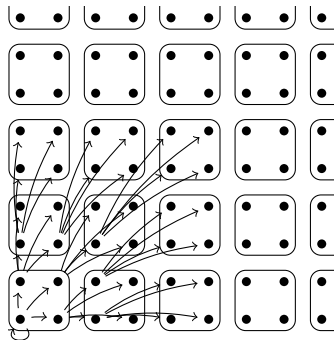
- ▶ (a) La relation **radix**;
- ▶ (b) La relation de **4-adjacence**;
- ▶ Nous devons comprendre l'**interaction** entre ces deux relations.

Observation 1

Lemme (Brek, Koskas, Provençal, 2011)

Si $p, p' \in \mathbb{N}^2$ sont **voisins**, alors exactement une des deux conditions suivantes est vérifiée :

- (i) p et p' sont **frères**, c'est-à-dire $\text{parent}(p) = \text{parent}(p')$;
- (ii) $\text{parent}(p)$ et $\text{parent}(p')$ sont **voisins**, c'est-à-dire 4-adjacents.



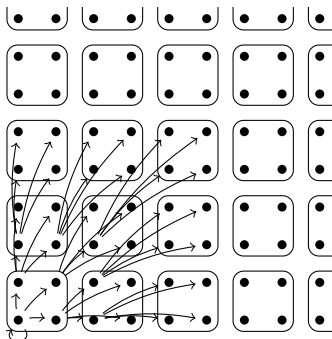
Observation 2

Lemme (Brlek, Koskas, Provençal, 2011)

Soient $p, p' \in \mathbb{Z}^2$ deux **voisins non frères**. Alors

$$\text{parent}(p') = \text{parent}(p) + \vec{d},$$

où $\vec{d} = \overrightarrow{pp'} \in \{(1, 0), (0, 1), (-1, 0), (0, -1)\}$.



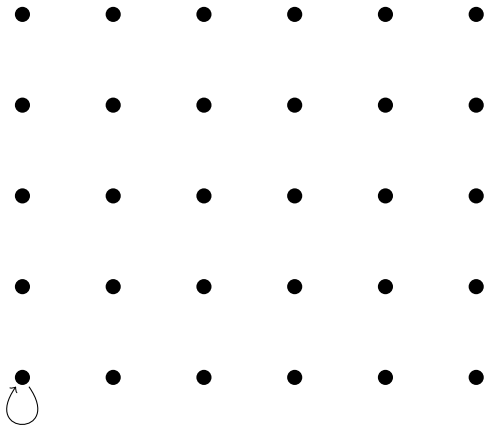
Lorsqu'on parcourt le chemin, on **ajoute**

- ▶ un **sommet** pour chaque **nouveau** point visité;
- ▶ des **arêtes** entre **certains voisins**;
- ▶ des **arcs** entre **certains points** liés par la relation **parent/enfant**;

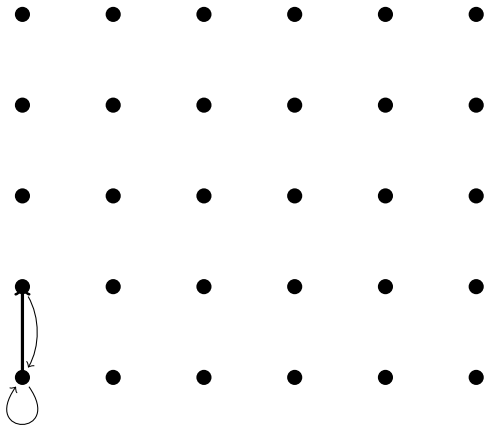
Puis

1. On démarre à l'**origine**;
2. On **lit** le prochain déplacement;
3. On **trouve** le voisin dans la structure de données, **en ajoutant** tout **sommet** ou **arc/arête** nécessaires;
4. On **répète** les étapes 2-3 jusqu'à la fin du chemin discret.

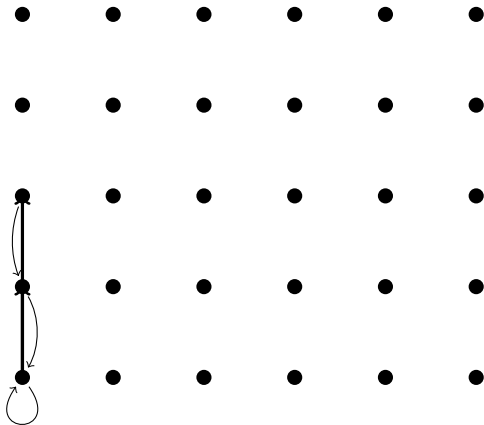
Exemple



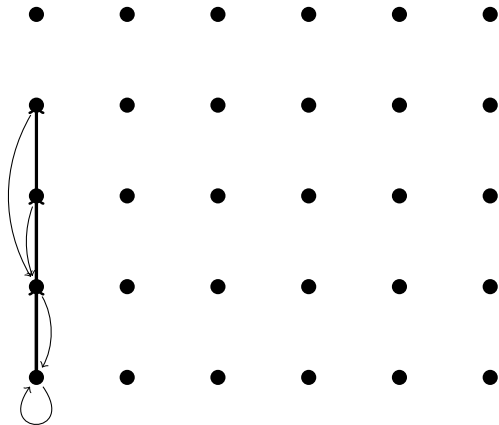
Exemple



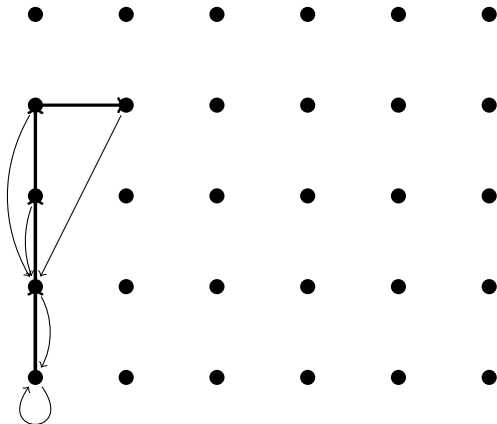
Exemple



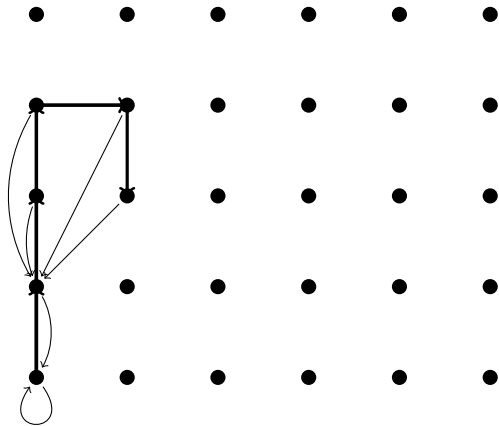
Exemple



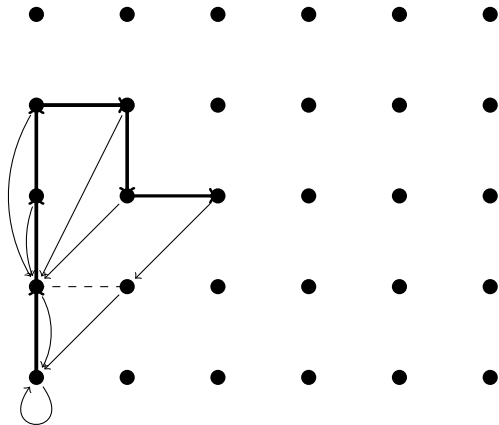
Exemple



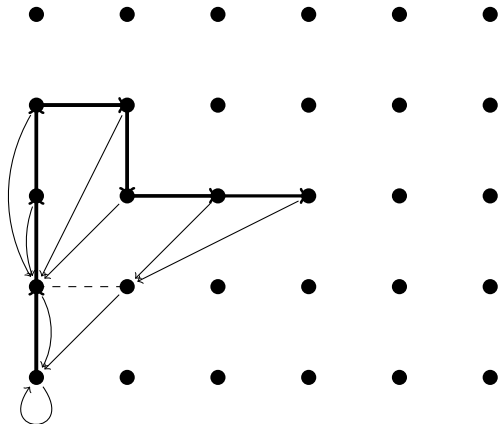
Exemple



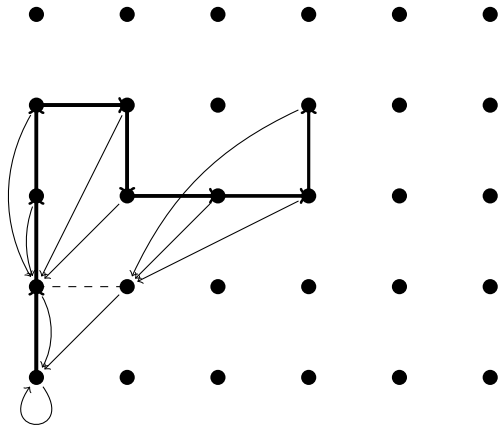
Exemple



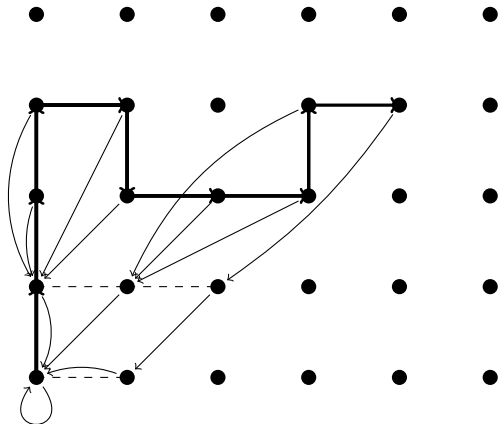
Exemple



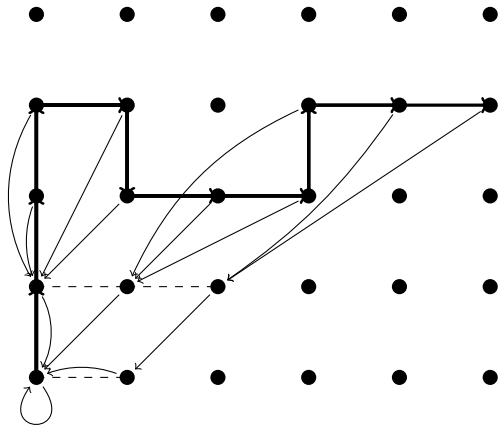
Exemple



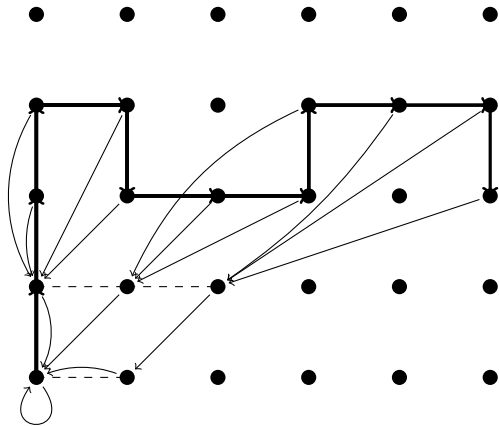
Exemple



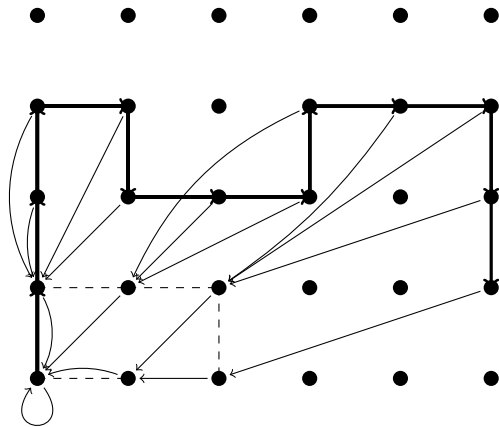
Exemple



Exemple



Exemple



Pseudocode (1/3)

```
1: function DISCRETEPATHGRAPH(): discrete path graph
2:    $u \leftarrow \text{NODE}()$ 
3:    $u.\text{point} \leftarrow (0, 0)$ 
4:    $u.\text{parent} \leftarrow u$ 
5:    $u.\text{visited} \leftarrow \text{vrai}$ 
6:    $G.\text{current\_node} \leftarrow u$ 
7:   retourner  $G$ 
8: fin fonction
9:
10: procedure MOVE( $G$  : radix tree,  $d$  : direction)
11:    $\text{next\_node} \leftarrow \text{NEIGHBOR}(G.\text{current\_node}, d)$ 
12:    $\triangleright$  Do something with next_node and current_node
13:    $G.\text{current\_node} \leftarrow \text{next\_node}$ 
14: fin procedure
```


Pseudocode (2/3)

```
1: fonction NEIGHBOR( $u$ : node,  $d$ : direction): node
2:   si  $u$ .neighbor[ $d$ ] is not defined alors
3:      $p \leftarrow u$ .point
4:      $p' \leftarrow p + d$ 
5:     si parent( $p$ ) = parent( $p'$ ) alors
6:        $v \leftarrow \text{CHILD}(u$ .parent,  $d$ )
7:     sinon
8:        $d' \leftarrow \text{parents\_direction}(p, p', d)$ 
9:        $v \leftarrow \text{CHILD}(\text{NEIGHBOR}(u$ .parent,  $d'$ ),  $d$ )
10:    fin si
11:     $u$ .neighbor[ $d$ ]  $\leftarrow v$ 
12:     $v$ .neighbor[ $-d$ ]  $\leftarrow u$ 
13:  fin si
14:  retourner  $u$ .neighbor[ $d$ ]
15: fin fonction
```

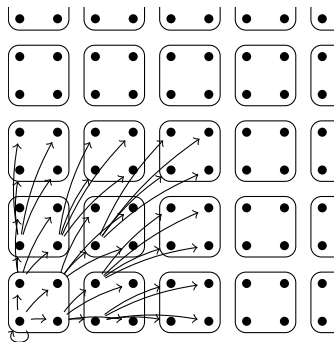
Pseudocode (3/3)

```
1: fonction CHILD( $u$  : node,  $d$ : direction): node
2:   si  $u.child[i]$  is not defined alors
3:      $v \leftarrow \text{NODE}()$ 
4:      $i \leftarrow \text{child\_index}(d)$ 
5:      $v.point \leftarrow \text{child\_coordinates}(u.point, d)$ 
6:      $u.child[i] \leftarrow v$ 
7:      $v.parent \leftarrow u$ 
8:      $v.visited \leftarrow \text{faux}$ 
9:   fin si
10:  retourner  $u.child[i]$ 
11: fin fonction
```

The lemme des 4 pas

Lemme (Brlek, Koskas, Provençal, 2011)

Soit γ un chemin discret de **longueur 4** et p_i le i -e point de \mathbb{N}^2 visité par γ , pour $0 \leq i \leq 4$. Alors il existe au moins deux indices distincts j et j' tels que p_j et $p_{j'}$ sont **frères**.



- ▶ Proportionnelle au **nombre de sommets** dans le graphe, puisque le nombre de **voisins** et d'**arcs/arêtes** est borné par une **constante**;

- ▶ Mais,

$$\text{points}(G) = \{\text{points}(\text{parent}^i(p)) \mid 0 \leq i \leq h, p \in \text{points}(\gamma)\}.$$

où h est la **hauteur** de l'arbre.

- ▶ Par conséquent,

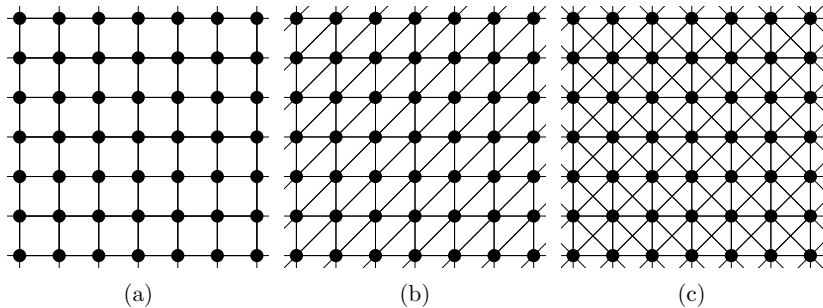
$$|\text{points}(\text{parent}^i(p))| \leq \left(\frac{4}{5}\right)^i |\text{points}(p)|$$

et

$$|\text{points}(G)| = \sum_{p \in \text{points}(\gamma)} \sum_{i=0}^h |\text{points}(\text{parent}^i(p))| \leq \sum_{i=0}^{\infty} n \left(\frac{4}{5}\right)^i = 5n = \mathcal{O}(n).$$

- ▶ La **complexité amortie** de $\text{MOVE}()$ est $\mathcal{O}(n)/n = \mathcal{O}(1)$.

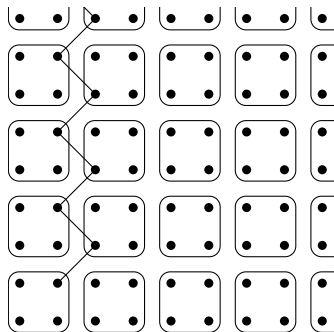
Autres grilles (1/3)



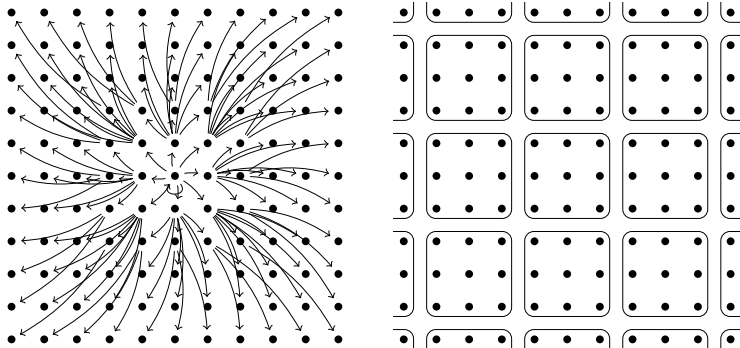
- ▶ (a) 4-régulier;
- ▶ (b) 6-régulier;
- ▶ (c) 8-régulier (non planaire).

Autres grilles (2/3)

- ▶ Le lemme des 4 pas **n'est plus valide!**



Autres grilles (3/3)



- Il suffit de modifier la **relation radix**:

$$(x, y) = \left(\text{trunc} \left(\frac{x' + \text{sign}(x')}{3} \right), \text{trunc} \left(\frac{y' + \text{sign}(y')}{3} \right) \right),$$

où $\text{trunc}(z) = \text{sign}(z) \lfloor |z| \rfloor$ est la **troncature** de z .

Lemme (B.M. et Marcotte, 2016)

Soit $p = (x, y), p' = (x', y') \in \mathbb{Z}^2$ deux voisins non frères tels que $p' = p + d$, où d est un vecteur élémentaire, et `parents_direction(p, p')` le **vector** vérifiant

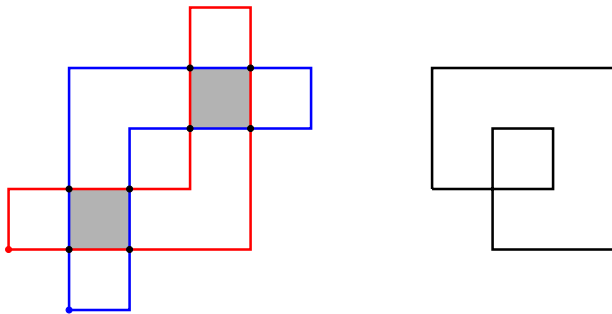
$$\text{parent}(p') = \text{parent}(p) + \text{parents_direction}(p, p').$$

Alors

$$\text{parents_direction}(p, p') = \begin{cases} (0, y' - y), & \text{si } (x + x') \bmod 3 \neq 0; \\ (x' - x, 0), & \text{si } (y + y') \bmod 3 \neq 0; \\ (x' - x, y' - y), & \text{sinon.} \end{cases}$$

Autres applications

- ▶ D'autres **opérations** sur les **régions discrètes** peuvent être déduites de cet algorithme avec complexités **linéaires** (Brlek, B. M., Tremblay, 2014, 2016);
- ▶ Par exemple, l'**intersection**, la **réunion**, l'**enveloppe externe**, etc.



- ▶ Quelles autres **opérations** peuvent être déduites de cette **structure de données**?
- ▶ Quelles **grilles** supportent cette approche (régulière, semi-régulière, non-régulière, apériodique, etc.)?
- ▶ Est-ce qu'il existe une **fonction potentielle** pour cette structure de données permettant de refaire l'**analyse de complexité amortie** pour l'opération MOVE()?

1. Chemins discrets

Représentation

Problème

2. Arbres pleinement feuillus

Polyominos

Polycubes

Graphes

Problèmes ouverts

1. Chemins discrets

Représentation

Problème

2. Arbres pleinement feuillus

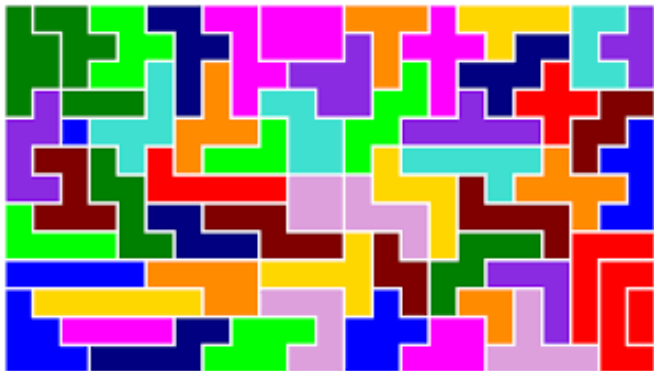
Polyominos

Polycubes

Graphes

Problèmes ouverts

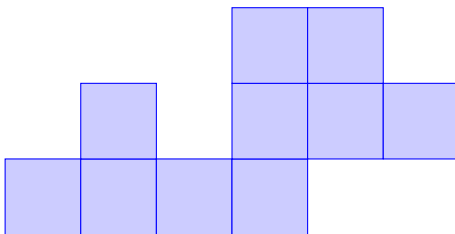
Polyominoes (1/2)



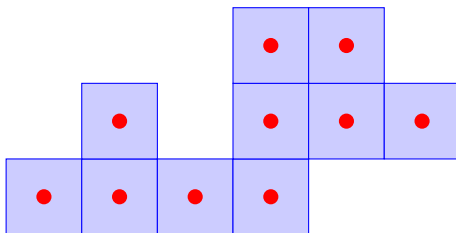
(source: David J. Goodger)

- ▶ Ces objets ont beaucoup été étudiés en **combinatoire** et en **théorie des jeux**;
- ▶ Plusieurs problèmes **difficiles** :
 - ▶ Combien y a-t-il de **polyominos** de n cellules? **Non connu pour $n \geq 57$** ;
 - ▶ Est-il possible de **paver** le plan euclidien à l'aide d'un ensemble de **tuiles donné**? **Indécidable en général**.
 - ▶ Est-il possible de **paver** une **région finie donnée** à l'aide d'un ensemble de tuiles donné? **NP-complet**.

Derrière chaque polyomino, il y a un graphe

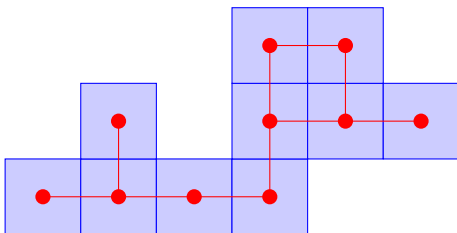


Derrière chaque polyomino, il y a un graphe



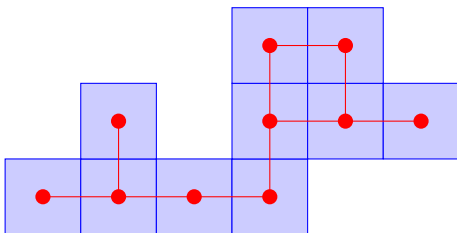
- Chaque **cellule** est un **sommet**;

Derrière chaque polyomino, il y a un graphe



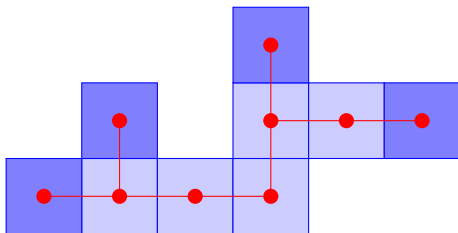
- ▶ Chaque **cellule** est un **sommet**;
- ▶ Il y a une **arête** entre deux cellules si elles partagent un **côté**;

Derrière chaque polyomino, il y a un graphe



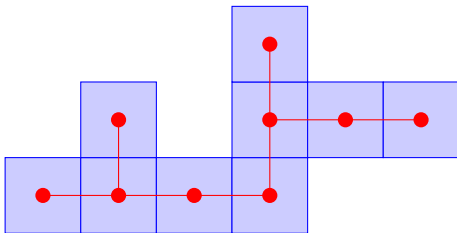
- ▶ Chaque **cellule** est un **sommet**;
- ▶ Il y a une **arête** entre deux cellules si elles partagent un **côté**;
- ▶ Ce graphe peut posséder des **cycles**.

Polyominos-arbres



- ▶ Si le graphe est **acyclique**, le polyomino est appelé **polyomino-arbre**.
- ▶ Le polyomino-arbre ci-haut possède **4 feuilles**.

Nombre maximal de feuilles?



Soit $L_2(n)$ le nombre maximum de feuilles qui peut être réalisé par un polyomino de n **cellules**.

Définition

Soit T un polyomino-arbre de n cellules et ℓ feuilles. On dit que T est **pleinement feuillu** si $\ell = L_2(n)$.

Théorème

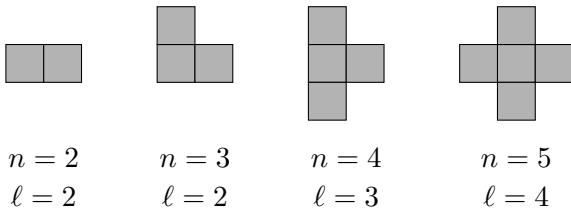
[B. M., Goupil, De Carufel, Samson; 2016] Pour tout entier $n \geq 1$, soit

$$\ell_2(n) = \begin{cases} 0, & \text{si } n = 1; \\ 2, & \text{si } n = 2; \\ n - 1, & \text{si } n = 3, 4, 5; \\ \ell_2(n - 4) + 2, & \text{si } n \geq 6. \end{cases}$$

Alors $L_2 = \ell_2$.

Idée de la démonstration $L_2 \geq \ell_2$

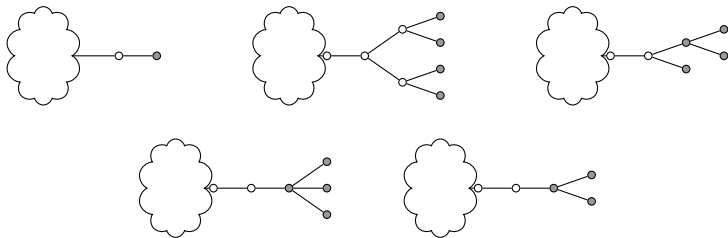
- ▶ Le cas $n = 1$ est trivial;
- ▶ On construit ensuite une famille par **récurrence sur** $n \geq 2$.
- ▶ **Cas de base:**



- ▶ **Récurrence:** On construit un polycube T_{n+4} en **“annexant”** le polyomino $n = 4$ à la droite de T_n , ce qui nous fait **“gagner” 3 feuilles**, mais en **“perdre” une**.

Idée de la démonstration $L_2 \leq \ell_2$

- ▶ On procède par **contre-exemple minimal**;
- ▶ Supposons qu'il existe un arbre de $> \ell_2(n)$ feuilles.
- ▶ On peut choisir n **minimal**.
- ▶ Alors on peut construire un **contre-exemple** de **taille** $< n$



1. Chemins discrets

Représentation

Problème

2. Arbres pleinement feuillus

Polyominos

Polycubes

Graphes

Problèmes ouverts

- ▶ L'équivalent d'un polyomino en 3D est appelé **polycube**;
- ▶ Chaque cellule possède au plus **6 voisins** plutôt que 4;
- ▶ La même question se pose: quel est le **nombre maximal** de feuilles $L_3(n)$ qui peut être réalisé avec un polycube-arbre de n **cellules**?

Nombre maximum de feuilles (3D)

Théorème

[B. M., Goupil, De Carufel, Samson; 2016] Pour tout entier $n \geq 1$, soit

$$\ell_3(n) = \begin{cases} 0, & \text{si } n = 1; \\ f_3(n) + 1, & \text{si } n = 6, 7, 13, 19, 25; \\ f_3(n), & \text{si } 0 \leq n \leq 40 \text{ et } n \neq 1, 6, 7, 13, 19, 25; \\ f_3(n - 41) + 28, & \text{si } 41 \leq n \leq 81; \\ \ell_3(n - 41) + 28, & \text{si } n \geq 82. \end{cases}$$

où

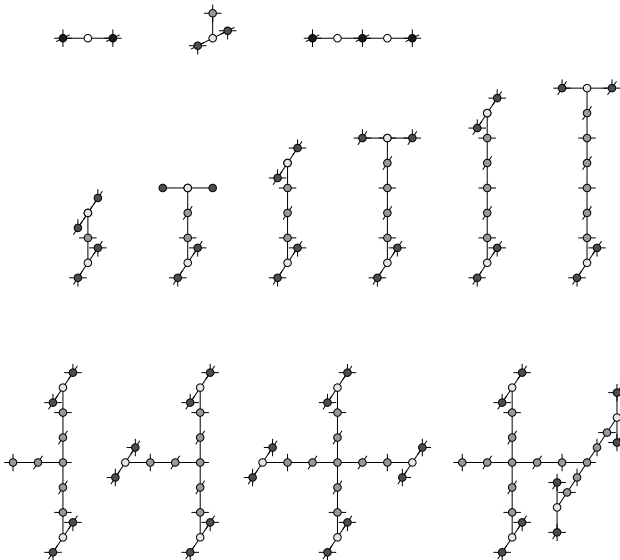
$$f_3(n) = \begin{cases} \lfloor (2n + 2)/3 \rfloor, & \text{si } 0 \leq n \leq 11; \\ \lfloor (2n + 3)/3 \rfloor, & \text{si } 12 \leq n \leq 26; \\ \lfloor (2n + 4)/3 \rfloor, & \text{si } 27 \leq n \leq 40. \end{cases}$$

Alors $L_3 = \ell_3$.

Idée de la démonstration

- ▶ Similaire à celle pour le cas des **polyominos**;
- ▶ On démontre que $L_3 \geq \ell_3$ en **construisant** une famille de polycubes-arbres (**facile**);
- ▶ On démontre que $L_3 \leq \ell_3$ par **contre-exemple minimal**, avec deux **difficultés additionnelles**:
 - ▶ **Explosion combinatoire** du nombre de cas à **examiner** (il faut recourir à un **programme informatique**);
 - ▶ **L'élagage simple** pour construire des plus petits **contre-exemples** ne suffit pas (il faut introduire la notion de **substitution**).

Exemples (voir <https://youtu.be/b7Wf-03449o>)



1. Chemins discrets

Représentation

Problème

2. Arbres pleinement feuillus

Polyominos

Polycubes

Graphes

Problèmes ouverts

On peut généraliser le problème de la façon suivante :

Problème SAIF

Étant donné un graphe non orienté G et deux entiers n, ℓ , est-ce qu'il existe un **sous-arbre induit** de G de n **cellules** et de ℓ **feuilles**?

Définition

Soit $G = (V, E)$ un graphe non orienté et $U \subseteq V$. Le **sous-graphe induit par U** , noté $G[U]$, est défini par

$$G[U] = (U, E \cap \mathcal{P}_2(U)).$$

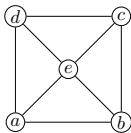
SAIF est NP-complet

Théorème

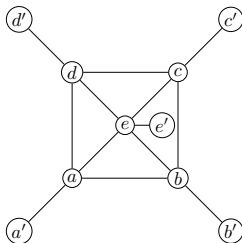
[B. M., Goupil, De Carufel, Vandomme; 2017] Le problème SAIF est **NP-complet** sur les graphes non orientés.

Proof

Réduction à partir du **problème du sous-arbre induit** (Erdős, 1986).



G



H

Théorème

[B. M., Goupil, De Carufel, Vandomme; 2017] Le problème SAIF est **polynomial** lorsqu'on se restreint aux graphes à **largeur arborescente bornée**, en particulier les **arbres**.

Idée de la démonstration

- ▶ On peut trouver une **décomposition arborescente** d'un graphe en **temps polynomial**;
- ▶ Le problème SAIF s'exprime comme une formule **logique monadique du deuxième ordre**;
- ▶ En vertu d'un résultat de **Courcelle** (1990), un algorithme polynomial existe.

Théorème

[B. M., Goupil, De Carufel, Vandomme; 2017] Soit $T = (V, E)$ un arbre, avec $n = |V|$. Alors L_T peut être calculé en temps $\Theta(n^3)$ et en espace $\Theta(n^2)$.

Idée de la démonstration

- ▶ **Programmation dynamique;**
- ▶ Pour chaque **orientation d'une arête** (u, v) de T , on calcule une **fonction partielle** $L_{u \rightarrow v}$ des **feuilles** vers le **centre** du graphe;
- ▶ Puis on calcule L_T en examinant **chaque arête** et en calculant la somme $L_{u \rightarrow v}$ and $L_{v \rightarrow u}$.

1. Chemins discrets

Représentation

Problème

2. Arbres pleinement feuillus

Polyominos

Polycubes

Graphes

Problèmes ouverts

Prochaine étape?

- ▶ Nous savons calculer L_2 (polyominos), L_3 (polycubes) et L_T (si T est un arbre);
- ▶ Y a-t-il d'autres **familles intéressantes de graphes** pour lesquelles le problème est **polynomial**?
- ▶ Que se passe-t-il sur d'**autres réseaux** (pavages de Penrose, pavages hyperboliques, etc.)?
- ▶ Qu'en est-il de **compter** et d'**énumérer**, pour chaque n , le nombre de polyominos-arbres, polycubes-arbres **pleinement feuillus**?